

## RC 電路

一、目的：

熟悉 RC 電路的充放電現象以及對正弦電壓的反應。

二、原理：

(一)RC 電路的充放電現象：

假設圖 1 中，RC 串聯電路的輸入電壓  $v_i(t)$  為

$$v_i(t) = \begin{cases} V_1 & t < 0 \\ V_2 & t > 0 \end{cases} \quad V_1 \neq V_2$$

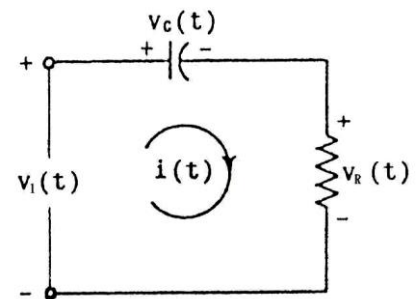


圖 1 RC 串聯電路

由 KVI( Kirchhoff's Voltage Law) 定律，圖 1 的電路滿足下式：

$$v_i(t) = v_R(t) + v_C(t) \quad (1)$$

迴路電流  $i(t)$  的方向如圖 1 所示，如果在  $t > 0$  時，(1) 式可以改寫成如下的式子。

$$V_2 = R i(t) + v_C(t) \quad t > 0 \quad (2)$$

由於迴路電流  $i(t)$  與電容器電壓  $v_c(t)$  的關係為

$$i(t) = C \frac{dv_c(t)}{dt}$$

因此可以得到下面的微分方程式

$$RC \frac{dv_c(t)}{dt} + v_c(t) = V_2 \quad t > 0 \quad (3)$$

假設在  $t < 0$  時電路已達穩定狀態，則在  $t = 0^+$  時電容器電壓為， $v_c(0^+) = V_1$ ，解(3)式時將的  $v_c(0^+) = V_1$  邊界條件代入，可得  $v_c(t)$  的解為

$$v_c(t) = V_2 + (V_1 - V_2)e^{-t/\tau}, \quad t > 0 \quad (4)$$

其中  $\tau = RC$

因為電容器上的電量  $q(t)$  為  $q(t) = Cv_c(t)$ ，所以從(4)式可看出，當  $V_2 > V_1$  時，電容器上的電量隨著時間的增加而增加，這就是電容的充電現象。圖 2(b) 所示為  $V_2 > V_1$  時電容器電壓隨時間而變的情形，而電荷量的變化曲線也與圖 2(b) 相同，只是相差一個倍數  $C$ 。如

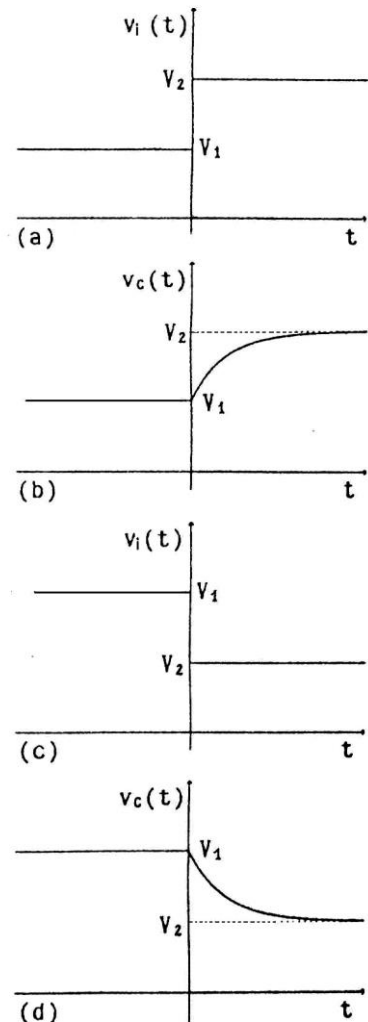


圖 2(a)(b)  $V_2 > V_1$  時，電容器充電的現象。

(c)(d)  $V_1 > V_2$  時，電容器放電的現象。

果  $V_2 < V_1$ ，則電容器上的電量隨著時間的增加而減少，這就是電容器的放電現象。圖 2(d)所示為  $V_2 < V_1$  條件下，電容器電壓隨著時間而變的情形。

(4)式中的  $\tau = RC$  稱為時間常數，這個數值決定了電容器上電量的變化率；時間常數  $\tau$  較大者，電量變化較慢， $v_c(t)$  要經過較長的時間才會達到穩定值；反之， $\tau$  較小者，電量變化較快， $v_c(t)$  較快達到穩定值。

如果將圖 1 的輸入電壓改為如圖 3(a)的波形

$$V_i(t) = \begin{cases} V_a & t < 0 \\ V_b & 0 < t < t_1 \\ V_a & t > t_1 \end{cases}$$

則電容器上電壓  $v_c(t)$  的變化情形如圖 3(b)所示。如果  $t_1 \gg \tau$ ，則  $v_c(t)$  會在  $0 < t < t_1$  的期間內趨於穩定值  $V_b$ 。在這個情況下，在  $0 < t < t_1$  的期間內，從  $v_c(t)$  從 10 % 上升到 90% 所需的時間稱為上升時間  $t_r$ ；在  $t > t_1$  時， $v_c(t)$  從 90% 下降到 10 % 所需的時間稱為下降時間  $t_f$ ，如圖 3(b)所標示。

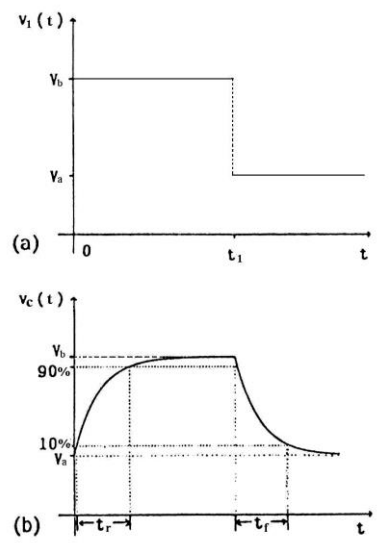


圖 3(a)輸入電壓  $v_i(t)$  的波形

(b)  $v_c(t)$  的波形

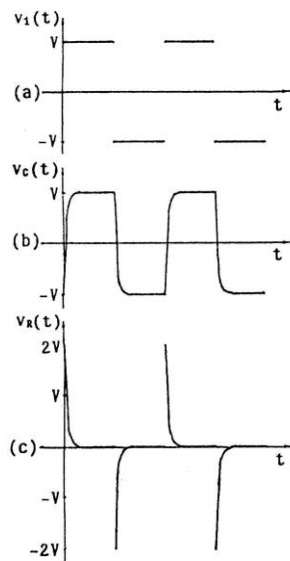


圖 4  $T/2 \gg \tau$  時

- (a)  $v_i(t)$
- (b)  $v_c(t)$
- (c)  $v_R(t)$

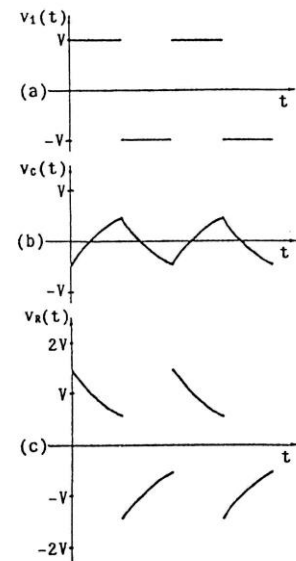


圖 5  $T/2 \approx \tau$  時

- (a)  $v_i(t)$
- (b)  $v_c(t)$
- (c)  $v_R(t)$

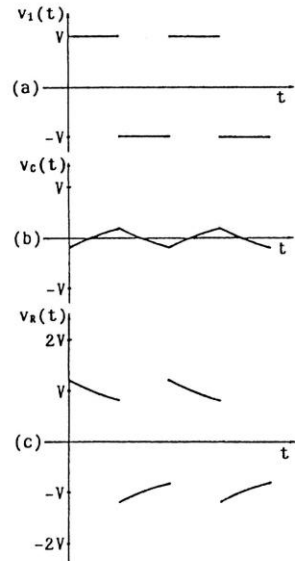


圖 6  $T/2 \gg \tau$  時

- (a)  $v_i(t)$
- (b)  $v_c(t)$
- (c)  $v_R(t)$

我們很容易可以證明， $t_\tau$ 、 $t_f$ 與  $\tau$  有下列關係：

$$t_\tau = t_f = 2.2 \tau$$

可見  $\tau$  值大的電路， $t_\tau$  和  $t_f$  也大，電路的反應較慢。

如果驅動電壓是週期性的方波(圖 4(a))，則電容器週期性地往高低兩個電壓充(放)電，其波型如圖 4(b)所示。因為  $v_i(t) = v_R(t) + v_c(t)$ ，所以  $v_R(t)$ (圖 4(c))與  $v_c(t)$  互補。

如果  $T/2 \gg \tau$ ，電容器有足夠的時間充(放)電到穩定電壓，此時的  $v_c(t)$  很接近方波，而  $v_R(t)$  則趨近於窄脈波，如圖 4 所示。圖 5 是方波週期  $T/2 \approx \tau$  時， $v_c(t)$  與  $v_R(t)$  的波形。如果  $T/2 \ll \tau$ ，電容器沒有足夠的時間充電或放電到穩定值，因此  $v_c(t)$  的電壓波形很接近三角波，而與其互補的  $v_R$  波形反而很像方波波形，如圖 6 所示。

## (二) 對正弦電壓的反應：

如圖 7(a)所示，用正弦電壓驅動 RC 電路，因為  $R_i + v_c = V_m \cos \omega t$ ，電流和電容器上的電量都會隨時間做正弦函數變化。我們可以利用複數的形式去解電路，解完之後再對  $i$  和  $v$  分別取實數部份。電容器的組抗<sup>#1</sup> 為  $1/j\omega C$ ，整個電路的總阻抗為  $Z = R + 1/j\omega C$ ，所以迴路上的電流為

$$\begin{aligned} i(t) &= \operatorname{Re} \left[ \frac{V_m e^{j\omega t}}{R + \frac{1}{j\omega C}} \right] \\ &= I_m \cos(\omega t + \phi) \end{aligned} \quad (5)$$

其中相位角為

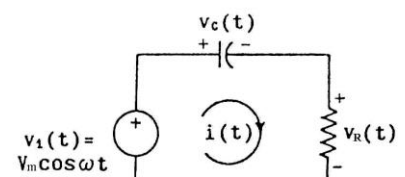
$$\phi = \tan^{-1} \frac{1}{\omega RC}$$

電流振幅  $I_m$  為

$$I_m = \frac{V_m / R}{\sqrt{1 + \left( \frac{1}{\omega RC} \right)^2}}$$

圖 7(b)在複數平面上繪示  $v_i(t)$ ， $v_R(t)$  和  $v_c(t)$  之間的關係。

#1 有關電容、電感的阻抗，請參考“交流電路與阻抗電橋”原理部份。為了與電流符號  $i$  有所區分，本書以  $j$  表示  $\sqrt{-1}$ 。



(a)

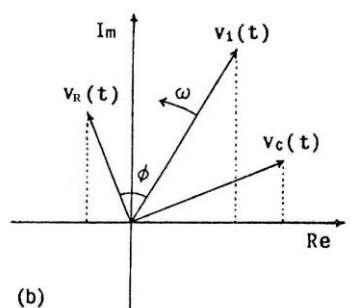


圖 7(a) 正弦電壓

(b)  $v_i(t)$ 、 $v_c(t)$  及  $v_R(t)$  之相位關係。

$v_i(t)$ 以  $V_m$  為半徑，以角頻率、循逆時針方向轉動，它在實數軸上的投影是  $V_m \cos \omega t$ 。 $v_R(t)$ 、 $v_c(t)$  均與  $v_i(t)$  以相同頻率循同一方向轉動，且  $v_c(t)$  恒比  $v_R(t)$  落後  $90^\circ$  相位角。 $v_R(t)$  比  $v_i(t)$  則超前相位角  $\phi = \tan^{-1}(1/\omega RC)$ ，在實驗上所觀察的是  $v_R(t)$  和  $v_c(t)$  在實數軸上的投影。

振幅  $I_m$  並不固定，而是隨頻率而變的，它的最大值是  $I_{m,\max} = V_m / R$ 。當正弦電壓的角頻率為電路的半功率角頻率  $\omega_{1/2}$  時

$$\frac{I_{m,\max}}{\sqrt{2}} = \frac{V_m / R}{\sqrt{1 + \left(\frac{1}{\omega_{1/2} RC}\right)^2}}$$

解出得  $\omega_{1/2} = \frac{1}{RC}$ 。我們可以將相位角  $\phi$  和電流振幅  $I_m$  改寫為

$$\phi = \tan^{-1} \frac{\omega_{1/2}}{\omega}$$

$$I_m = \frac{V_m / R}{\sqrt{1 + \left(\frac{\omega_{1/2}}{\omega}\right)^2}}$$

由於電阻器上兩端的電壓  $v_R(t)$  為

$$v_R(t) = Ri(t)$$

$$= \frac{V_m}{\sqrt{1 + \left(\frac{\omega_{1/2}}{\omega}\right)^2}} \cos(\omega t + \phi)$$

所以電阻器電壓的峰值  $V_{Rm}$  為

$$V_{Rm} = \frac{V_m}{\sqrt{1 + \left(\frac{\omega_{1/2}}{\omega}\right)^2}} \quad (6)$$

如果將  $V_{Rm}$  和  $\phi$  分別對  $\omega$  作圖，可以得到如圖 8 的曲線。由圖 8(a)可以看出：當  $\omega$  很小時，電容性電抗(Capacitive reactance，簡稱容抗)  $1/j\omega C$  很大，輸入電壓  $v_i(t)$  大部份落在電容器上，所以電阻器上的電壓很小。反之，當  $\omega$  很大時，容抗值  $1/j\omega C$  很小，大部份輸入電壓落在電阻器上。由(6)式也可以看出：電路的電阻器上的電壓  $v_R(t)$

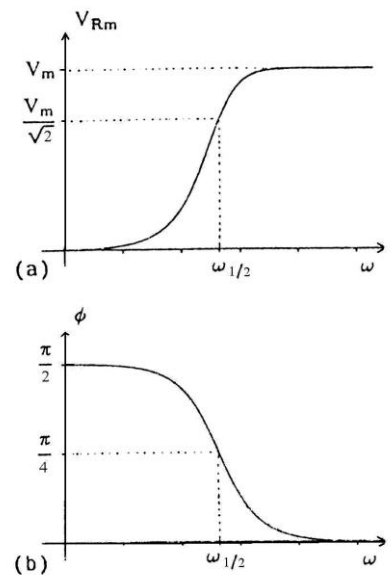


圖 8(a)  $V_{Rm}-\omega$  的曲線圖。

(b)  $\phi-\omega$  的曲線圖。

在頻率低時的峰值  $V_{Rm}$  較小；反之頻率高時， $V_{Rm}$  較大。因此，以圖 7 的電路來說，如果以電阻器的電壓做為輸出，這個電路就可做為一個在低頻時輸出電壓較小，在高頻時輸出電壓較大的「高通濾波器」。

電容器上的電壓  $v_c(t)$  為

$$v_c(t) = \operatorname{Re} \left[ \frac{1}{j\omega C} \cdot \frac{V_m e^{j\omega t}}{R + j\omega C} \right]$$

$$= \frac{V_m}{\sqrt{1 + \left( \frac{\omega_{1/2}}{\omega} \right)^2}} \cos(\omega t + \phi')$$

其中  $\phi' = \phi - \pi/2$ ；電容器電壓的峰值  $V_{Cm}$  為

$$V_{Cm} = \frac{V_m}{\sqrt{1 + \left( \frac{\omega}{\omega_{1/2}} \right)^2}} \quad (7)$$

如果將  $V_{Cm}$  和  $\phi'$  分別對  $\omega$  作圖，可以得到如圖 9 之曲線。由圖 9(a) 可看出：在頻率較低時電容器的電壓峰值  $V_{Cm}$  較大，反之頻率高時  $V_{Cm}$  較小。所以，如果以電容器的電壓做為輸出，則這個電路可做為一個「低通濾波器」。頻率從零到半功率頻率  $f_{1/2}$  稱為此電路的頻寬 B.W.

$$B.W. = f_{1/2} = \frac{1}{2\pi RC} = \frac{2.2}{2\pi t_r} = \frac{0.35}{t_r}$$

示波器的 B.W. 和  $t_r$  通常符合上列關係式。

### (三) 示波器接線的補償：

我們實驗室中所使用的 CS-1022 示波器，其輸入瑞阻抗為  $1M/32pF$ 。同軸電纜的電容為  $128pF$ ，因此使用示波器到試電路時，示波器含同軸電纜的總阻抗為  $1M/160pF$ 。示波器輸入阻抗隨著廠牌而有不同的值，不論其值為何，由前一單元對正弦電壓的反應的敘述可知，如果待測電路的頻率太高時，電容的容抗值會降得很低，造成待測電路很大的負載（參考電學基本量測的負載效應），使得示波器上所顯示的電壓值與待測值有很大的差距。

為解決電容造成的負載效應，示波器的測試棒都會附有補償電路，如圖 10 所示。補償電路除了具有抵消

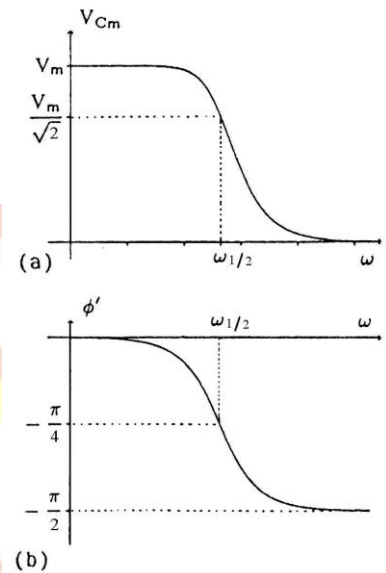


圖 9(a)  $V_{Cm}$ - $\omega$  的曲線圖。

(b)  $\phi'$ - $\omega$  的曲線圖。

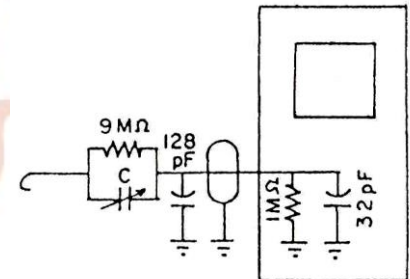


圖 10 示波器的輸入阻抗與 10:1  
接線。

電容負載效應的功能外，還會將外界訊號表減為  $1/10$ 。

補償電路的原理如圖 11(a)所示，如果輸入電壓  $v_i(t)$  為任意頻率的正弦波，則輸出電壓  $v_o(t)$  為

$$v_o(t) = \text{Re} \left[ \frac{\frac{R_i}{j\omega C_i}}{\frac{R_i + \frac{1}{j\omega C_i}}{\frac{R_i}{j\omega C_i} + \frac{R_i}{j\omega C}} V_m e^{j\omega t}} \right] \quad (8)$$

我們發現：如果調整可變電容  $C$ ，始得  $RC=R_iC_i$ ，則(8)式經化簡可得  $v_o(t)$  為

$$v_o(t) = \frac{R_i}{R+R_i} v_i(t) \quad (9)$$

此表示：不論輸入電壓  $v_i(t)$  之頻率如何改變，輸出電壓  $v_o(t)$  不再與  $C$  及  $C_i$  有關，換句話說，在符合  $RC=R_iC_i$  的條件下，圖 11(a)的電路可簡化成如圖 11(b)的等效電路。

因為經過補償調整後的示波器不再有電容的負載效應，所以，不管待測電路的  $v_i(t)$  是那種波形，示波器上所顯示的電壓  $v_o(t)$  均為

$$v_o(t) = \frac{R_i}{R+R_i} v_i(t) \quad (10)$$

把上述的補償原理應用於 CS-1022 示波器中，將測試棒接至示波器本身產生的 1kHz 的方波，並把測試棒

轉至 10:1 衰減，於調整探棒上的電容  $C$  時，我們可以看到示波器螢幕上的方波有如圖 12 的變化。當我們剛好把補償電容  $C$  調至  $C \approx 160/9 \mu\text{F}$ ，示波器上就會呈現出完整漂亮的方形波，此時便是補償正確。

### 三、儀器與配件：

示波器，波形產生器(Function Generator)，直流電源供應器，DMM，100kΩ 電阻 2 個，1kΩ 電阻 1 個，可變電阻 20kΩ 1 個，0.01 μF 及 1000 μF 電容各一個。馬表一個，小起子一支。

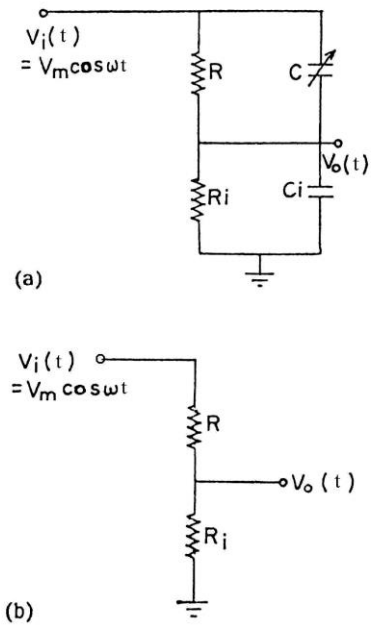


圖 11(a)示波器與補償電路的等效電路。R 與 C 為補償電路， $R_i$  和  $C_i$  為示波器及同軸電纜的輸入電阻與電容。

(b) $RC=R_iC_i$  時的電效電路。

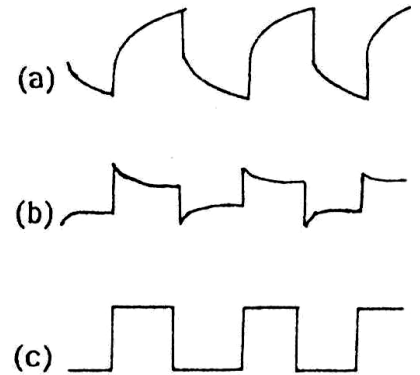


圖 12(a)欠補償， $C$  太小。

(b)過補償， $C$  太大。

(c)補償正確， $C \approx 160/9 \mu\text{F}$ 。

#### 四、步驟：

##### (一)觀察大電容器的充放電：

1. 將  $1000\mu F$  之電容器充分放電，然後接成如圖 13 之電路。
2. 將開關撥至 a 點，從 DMM 上觀察電容器兩端電壓的變化情形，每隔半分鐘記錄一次。
3. 當電容器的電壓達 3-5V 時，將開關接至 b 點。繼續記錄電容器上電壓的變化。
4. 將電壓對時間在半對數紙上作圖，是否接近一直線？如何從這一條線推算電容器的電容值<sup>#2</sup>？

##### (二)補償電路：

1. 如圖 14 之電路，用任意頻率的方波推動電路，以 CH1、CH2 分別觀察 a 點及波形產生器的波形，並且調整可變電阻器 R，得到圖 12(a)、(b)、(c)三種波形。記錄上述三種波形時之電阻值及 CH1、CH2 的波形。檢查 R 與  $R_1$ 、 $C_1$ 、C 之間的關係。
2. 將方波改為正弦波及三角波，比較不同電阻值時，波形的變化。

##### (三)調節兩條 10:1 接線的補償電容：

將示波器本身產生的  $1kHz$  方波輸入觀察，小心以小起子調節補償電容，使方波波形成最完美的方形。一旦調好，兩條接線不可對調使用，因為每條接線，每個 Channel 的特性不盡相同。

##### (四)週期性的充電現象：

1. 以波形產生器之方波推動圖 15 的電路，利用示波器 CH1 接到波形產生器，CH2 接到電容器；同時觀察  $v_i(t)$  與  $v_c(t)$ 。(若使用 CH1-CH2 方式則可以看到電阻器電壓的波形)
2. 調整波形產生器使方波週期為  $T=1 \sim 5\tau$ ，記錄  $v_c(t)$ 、 $v_R(t)$  及波形產生器的波形。
3. 重複 1、2 步驟，方波週期改為  $T=0.5\tau$ 、 $T=50\tau$ ，並比較  $T=0.5\tau$ 、 $T=5\tau$ 、 $T=50\tau$  時， $v_i(t)$ 、 $v_c(t)$ 、 $v_R(t)$  的波形。
4. 選用一個適當的週期，測量 RC 電路的上昇時間。可利用示波器上 0%、10%、90%、100% 這 4 條線測量。比較  $\tau$  的測量值與計算值。
5. 波形產生器的內阻可以忽略不計嗎？為什麼？

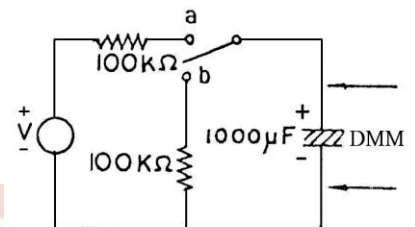


圖 13 電容器的充放電迴路。

#2 利用數位阻抗表可測量出較精確的電容值，但要記住先把電容器兩腳之間短路，使它充分放電，以免殘餘電壓破壞阻抗表。

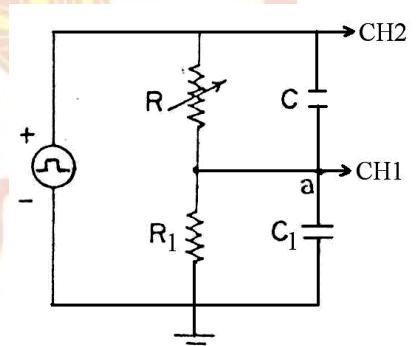


圖 14 補償電路。

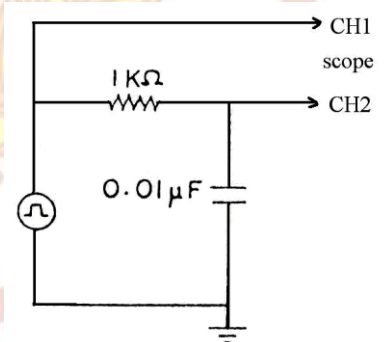


圖 15 週期性的充放電現象。

6.改用其它  $R$ 、 $C$  值，重覆步驟 1~4。

### (五)正弦電壓的反應：

- 1.如圖 15 之電路，將方波輸入改為正弦波。
- 2.觀察電容器電壓和相位角隨頻率變化的情形，記錄幾個頻率的電壓和相位角<sup>#3</sup>，繪出它們對頻率的關係圖<sup>#4</sup>，並決定半功率點  $f_{1/2}$ 。
- 3.將步驟(四)-4 測得之  $t_\tau$ ，代入  $f_{1/2} = 0.35/t_\tau$  求出  $f_{1/2}$ ，與計算值及步驟 2 的  $f_{1/2}$  三者作比較。

### 五、問題：

- 1.證明 RC 電路的上昇、下降時間是  $2.2RC$ 。證明 RC 電路中，電容器充電(或放電)到一半所需的時間  
 $t_{1/2} \approx 0.6931 RC$ 。
- 2.如圖 16 之電路，以恆流源驅動 RC 並聯電路。  
 證明這個電路的時間常數和以恆壓源驅動的 RC 串聯電路相同。
- 3.以 X-Y 方式操作示波器，去測量兩個信號的相位差 X 軸輸入為  $V_i$ ，Y 軸輸入為  $V_R$ ，得到圖 17 的圖形，試證明  $\phi$  可以由下式算出：

$$\sin \phi = \frac{B}{A}$$

- 4.圖 18 以雙軌跡示波器測量電路，錯誤何在？

- 5.以雙軌跡示波器測量兩個信號間的相位差，Trigger source 絕對不能選擇 V. Mode，為什麼？

- 6.列出測量相位差的各種方法，並說明其優點、缺點。

### 六、參考文獻：

1. C. A. Desoer and E. S. Kuh : Basic Circuit Theory (McGraw-Hill, 1969), § 4.1.1, p.110。
2. 示波器的原理與功能。
3. D. Halliday and R. Resnick, Fundamentals of physics, extended 3rd ed., ( John Wiley & Sons, Inc., 1988), § 29-8, p.673。

#3 相位角的測量可以利用李沙傑曲線

或在示波器時間軸上讀取。

#4 為了涵蓋較大頻率範圍，此處宜以  $\log f$  為橫軸座標。

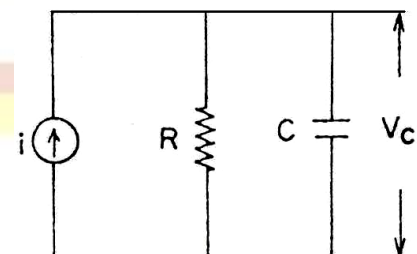


圖 16 問題 2 之電路。

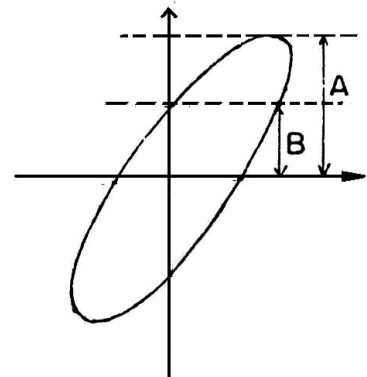


圖 17 相位差  $\phi = \sin^{-1} \frac{B}{A}$

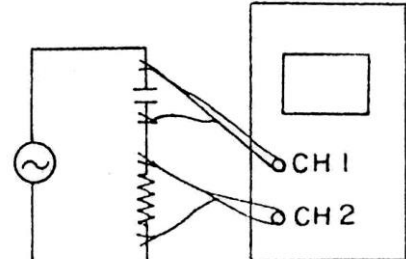


圖 18 問題 4